

九州大学 正会員 棚木 武  
 九州大学 学生員 ○土居 隆彦  
 九州大学 学生員 甲斐 一夫

1. まえがき 近年、自動車交通量が増大し、道路交通の機能が高次化されつつある。このため、道路の設計、管理あるいは交通の規制に当っては、そこを流れる交通流の実態を十分明らかにするとともに、それらの結果がどのような形で交通流の性格に影響するかを解明しておく必要がある。しかし、実際の道路交通現象はその1つ1つが確率的な要素を含んでおり、全体としてはさわめて複雑な現象を呈している。そこで、本研究においては交通の特性を確率論的にとらえながら、ある時間間隔内に通過する車台数を観測することによりその平均値と分散の比を求め、これより交通量の変動に関する共分散構造を明らかにするものである。

図2.1

|    |                 | 時間帯                  |   |   |   |   |   |   |   |
|----|-----------------|----------------------|---|---|---|---|---|---|---|
|    |                 | TIME INTERVAL NUMBER |   |   |   |   |   |   |   |
|    |                 | 1                    | 2 | 3 | 4 | 5 | 6 | 7 | 8 |
| 1  | N <sub>11</sub> |                      |   |   |   |   |   |   |   |
| 2  |                 |                      |   |   |   |   |   |   |   |
| 3  |                 |                      |   |   |   |   |   |   |   |
| 4  |                 |                      |   |   |   |   |   |   |   |
| 5  |                 |                      |   |   |   |   |   |   |   |
| 6  |                 |                      |   |   |   |   |   |   |   |
| 7  |                 |                      |   |   |   |   |   |   |   |
| 8  |                 |                      |   |   |   |   |   |   |   |
| 9  |                 |                      |   |   |   |   |   |   |   |
| 10 |                 |                      |   |   |   |   |   |   |   |

2. 共分散構造について いま、図2.1のようなある特定の場所と時間間隔について得られた車台数のマトリクスを考え、N<sub>ij</sub>を最小単位の時間間隔における車台数とする。また、N<sub>ij</sub>はそれぞれに独立で一様に分布したランダム変数であると仮定する。このとき、N<sub>ij</sub>の観測値にはランダム変数N<sub>ij</sub>のランダムなサンプルとみなされる。さらに、Y<sub>ij</sub>= $\sum_{k=1}^{m+1} N_{ijk}$  ( $i=1, 2, \dots, s-m+1$ ;  $m+1, 2, \dots, S$ ) とすると、Y<sub>ij</sub>= $\sum_{k=1}^{m+1} n_{ijk}$  ( $i=1, 2, \dots, s-m+1$ ;  $m+1, 2, \dots, S$ ) はランダム変数N<sub>ij</sub>のランダムなサンプルとみなされる。ここで、サンプルの平均値をY<sub>ij</sub>、サンプルの分散をS<sub>ij</sub><sup>2</sup>とすると次式が成り立つ。 $Y_{ij} = \frac{1}{m+1} \sum_{k=1}^{m+1} Y_{ijk}$ ,  $S_{ij}^2 = \frac{1}{m+1} \sum_{k=1}^{m+1} (Y_{ijk} - Y_{ij})^2$  また、Var{Y<sub>ij</sub>} = Var{ $\sum_{k=1}^{m+1} N_{ijk}$ } =  $\sum_{k=1}^{m+1} Var\{N_{ijk}\} + \sum_{k=1}^{m+1} Cov\{N_{ijk}, N_{ijk}\}$  (2) ここに、Varは分散、Covは共分散を意味する。ここで、共分散構造について考察するために次のような式を考えてみる。

$$\frac{Var\{Y_{ij}\}}{E\{Y_{ij}\}} = \frac{Var\{\sum_{k=1}^{m+1} N_{ijk}\}}{E\{\sum_{k=1}^{m+1} N_{ijk}\}} = \frac{\sum_{k=1}^{m+1} Var\{N_{ijk}\} + \sum_{k=1}^{m+1} Cov\{N_{ijk}, N_{ijk}\}}{E\{\sum_{k=1}^{m+1} N_{ijk}\}} \quad (3)$$

図2.1のようすはマトリクスが P{N<sub>ij</sub>=0} ≈ 1 (車が観測されない確率が1に近い) と P{N<sub>ij</sub>>0} ≈ 1 (車が観測される確率が極めて小さい) のような短い時間間隔について得られるものと仮定する。つまり、P{N<sub>ij</sub>>0} が無視できるならば、N<sub>ij</sub>およびN<sub>ij</sub><sup>2</sup>の期待値が次のように表される。 E{N<sub>ij</sub><sup>2</sup>} = E{E{N<sub>ij</sub><sup>2</sup>|N<sub>ij</sub>>0}} = {1-P<sub>i</sub>(0)}E{N<sub>ij</sub>|N<sub>ij</sub>>0} = {1-P<sub>i</sub>(0)}E{N<sub>ij</sub>|N<sub>ij</sub>>0}, E{N<sub>ij</sub><sup>2</sup>} = E{E{N<sub>ij</sub><sup>2</sup>|N<sub>ij</sub>>0}} = {1-P<sub>i</sub>(0)}E{N<sub>ij</sub><sup>2</sup>|N<sub>ij</sub>>0} ここで、P<sub>i</sub>(0)=P{N<sub>ij</sub>=0} とする。ここで、Var{N<sub>ij</sub>} = E{N<sub>ij</sub><sup>2</sup>} - [E{N<sub>ij</sub>}][E{N<sub>ij</sub><sup>2</sup>}]. であり、これに上記2式を代入すれば、Var{N<sub>ij</sub>} = {1-P<sub>i</sub>(0)}E{N<sub>ij</sub><sup>2</sup>|N<sub>ij</sub>>0} - [{1-P<sub>i</sub>(0)}E{N<sub>ij</sub>|N<sub>ij</sub>>0}]<sup>2</sup> となる。

$$\text{よって, } \frac{Var\{N_{ij}\}}{E\{N_{ij}\}} = \frac{{1-P_i(0)}E\{N_{ij}^2|N_{ij}>0\} - [{1-P_i(0)}E\{N_{ij}|N_{ij}>0\}]^2}{E\{N_{ij}|N_{ij}>0\}} = \frac{E\{N_{ij}^2|N_{ij}>0\}}{E\{N_{ij}|N_{ij}>0\}} - \frac{{1-P_i(0)}E\{N_{ij}|N_{ij}>0\}}{{1-P_i(0)}} \quad (4)$$

ここで、P<sub>i</sub>(0) ≈ 1 より {1-P<sub>i</sub>(0)} ≈ 0 であり、したがって {1-P<sub>i</sub>(0)}E{N<sub>ij</sub>|N<sub>ij</sub>>0} ≈ 0 となるから式(4)が次のように説明される。  $\frac{Var\{N_{ij}\}}{E\{N_{ij}\}} \approx \frac{E\{N_{ij}^2|N_{ij}>0\}}{E\{N_{ij}|N_{ij}>0\}} \approx \frac{0 \cdot P\{N_{ij}=0|N_{ij}>0\} + 1 \cdot P\{N_{ij}=1|N_{ij}>0\} + \dots}{0 \cdot P\{N_{ij}=0|N_{ij}>0\} + 1 \cdot P\{N_{ij}=1|N_{ij}>0\} + \dots} \approx \frac{1^2 P\{N_{ij}=1|N_{ij}>0\}}{1 \cdot P\{N_{ij}=1|N_{ij}>0\}} \approx 1$  (5)

以上より、P{N<sub>ij</sub>>0}が無視できる場合には、短い時間間隔における車台数に関する平均値と分散の比はほとんど1に等しいといふことが説明できる。すなわち、大部分の時間帯で1台の車も観測されないような短い時間間隔で車台数を数えるならば、平均値と分散の比は1に近いことが観測されるであろう。しかし、前述のようなモデルを実際に用いることはなかなか難しい。なぜならば、どんな時間帯にいへども1台以上の車が観測される確率が無視できるような短い時間間隔で車台数を数えることは困難であるからである。このような場合には、次のように前述の式を拡張することにより説明できる。すなわち、式(3)において P{N<sub>ij</sub>>0} が無視できることは、

$$\frac{\sum_{j=1}^m Var\{N_{ij}\}}{E\{N_{ij}\}} = 1 \text{ より, } \frac{Var\{Y_{ij}\}}{E\{Y_{ij}\}} = 1 + \frac{\sum_{j=1}^m Cov\{N_{ij}, N_{ij}\}}{\sum_{j=1}^m E\{N_{ij}\}} \quad (6)$$

また、P{N<sub>ij</sub>>0} が無視できない場合、すなわち、車が集団で到着するような場合につ

$$\text{Var}(N_{1:t}) = \frac{\sum_{i=1}^{t-1} (P_{i,1}) + 2^2 P_{i,2}) + \dots + \sum_{i=1}^{t-1} \sum_{j=0}^{t-i-1} \text{Cov}(N_{i,j}, N_{i,t})}{\sum_{i=1}^{t-1} (P_{i,1}) + 2 \cdot P_{i,2} + \dots} \quad (17)$$

以上より、 $N_{1:t}$ に存在する共分散は、車台数に関する平均値と分散の比を考察することによって明らかにすることができる。すなわち、比率がより大きいが、小さいかあるいは1に近いかによって $N_{1:t}$ の共分散が正、負の二つのことになるものである。

3. 観測結果及び考察 鋼製は国道3号線において午前7時から12時までの5時間、2分30秒毎の車台数をえたことにより得られた。その間の交通量の時間的変動を上り、下り車線別と示すとそれが図3.1、図3.2のようになる。ところで、3.2で述べたことより考えるとこれらの観測値の平均値と分散の比を時間間隔を横軸にとってプロットしたグラフは、時間間隔が長くなるにつれて、1より増加するもの、1より減少するもの、ほぼ1に近く平らになるものの3種類に大別できる。それらの各々についてこの例を図3.3、図3.4、図3.5に示す。図3.3は観測した全時間帯における平均値と分散の比をアベレージしたものである。この間にみていよいよ上り下り車線とともに平均値と分散の比が時間間隔に対して増加傾向となっている。このことは、車の流れが定常でないことをより正の共分散が生じたためと推定できる。また、この例において上り車線に比べ、下り車線の勾配が大きいことは、図3.1、図3.2より明らかのように、下り車線における交通量の変動が大きいことに起因している。

すなわち、下り車線では福岡市中心部へ向う通勤交通のピークが存在し、交通量出現の非定常性が強く表れれていることによるものである。

図3.4は、下り車線において混雑が最も激しい時間帯におけるグラフである。この図においては平均値と分散の比が時間間隔に関して減少傾向となるており、これは次のように説明できる。すなわち、この時間帯では混雑がひどく、いわゆる渋滞がおこり、車の流れが拘束された一様流に近いものとなり、各時間単位の交通量に負の共分散が生じたものと解釈できる。また、図3.2において、交通量の変動が大きい時間帯7時～9時を除いた時間帯9時～12時にかけて同様のグラフを描けば図3.5のとおりである。このグラフは平均値と分散の比が1～2の値で与えられるのは平らな曲線となる。このことは、この時間帯では車の流れは渋滞を起こさずもしくはスムーズに流れている状態、すなわち、ほとんど拘束のない定常流であると考えられる。

以上より、短い時間間隔における分散の大きさは平均値と同じオーダーであり、平均値と分散の比は1から2の間にだいたいあり、時間間隔が長くなるほど平均値と分散の比は種々の値をとることがわかる。このことは、時間間隔が長い場合、言へかれば交通量が多い場合には、車の到着台数がポアソン分布をするということが必ずしもあてはまらない事実を明らかにするものであろう。

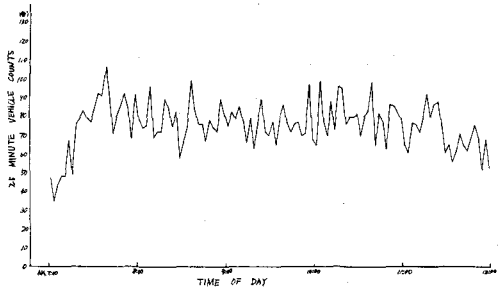


図3.1 (上) 北九州方面行き車線

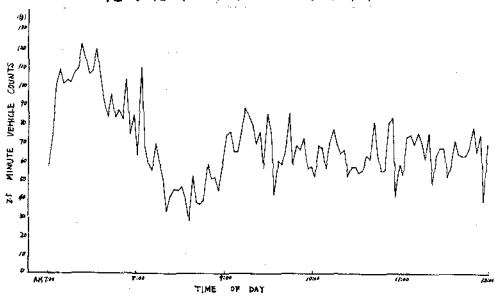


図3.2 (下) 福岡方面行き車線

図3.3 時間帯 AM 7:00～AM 12:00

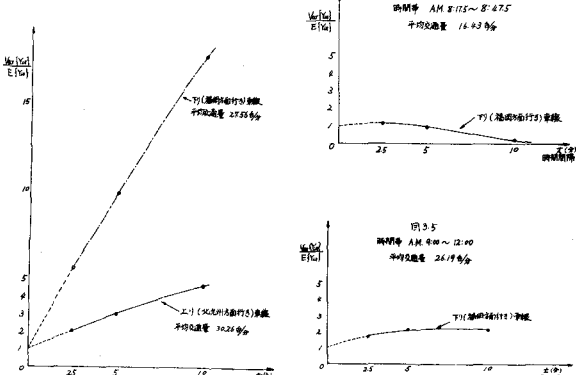


図3.4 時間帯 AM 8:15～8:45

平均交通量 16.43台/分

時間帯

図3.5 時間帯 AM 9:00～12:00

平均交通量 26.19台/分

時間帯